



تأثیر نرخ کرنش بر رفتار سوپرالاستیک آلیاژ حافظه‌دار NiTi تحت کرنش بالا

سمیه نورمحمدزاده^۱، سید مجتبی زبرجد^۲، سید عبدالکریم سجادی^۳

دانشکده مهندسی، دانشگاه فردوسی مشهد

چکیده

استحاله مارتزیتی متأثر از تنش (Stress-Induced Martensitic) شدیداً وابسته به دماست و نرخ کرنش با تأثیر مستقیم بر دمای ماده، نقش مهمی در تعیین رفتار سوپرالاستیک بازی می‌کند. در تحقیق حاضر منحنی‌های تنش-کرنش سیم حافظه‌دار NiTi، به منظور بررسی رفتار سوپرالاستیک در نرخ‌های کرنش مختلف مورد بررسی قرار گرفت. بدین منظور آزمون کشش در محدوده نرخ کرنش ۰/۰۰۶/min تا ۰/۰۰۱/min و دامنه کرنش ۰/۱٪ در دمای اتاق انجام شد. نتایج نشان داد که با افزایش نرخ کرنش، ناحیه تنش ثابت در مرحله بارگذاری به سمت بالا جایجا می‌شود و ناحیه تنش ثابت در مرحله باربرداری ابتدا به سمت پایین و سپس به بالا جایجا می‌گردد. همچنین با افزایش نرخ کرنش، کرنش دائمی افزایش و کرنش سوپرالاستیک ابتدا افزایش و سپس کاهش یافت.

واژه‌های کلیدی: رفتار سوپرالاستیک، استحاله مارتزیتی متأثر از تنش، نرخ کرنش، ناحیه تنش ثابت، کرنش دائمی، کرنش سوپرالاستیک

۱- کارشناس ارشد

۲- دانشیار

۳- دانشیار

تأثیر نرخ کرنش بر رفتار سوپرالاستیک آلیاژ حافظه دار NiTi تحت کرنش بالا

سمیه نورمحمدزاده^۱، سید مجتبی زبرجد^۲، سید عبدالکریم سجادی^۳

چکیده

استحاله مارتزیتی متأثر از تنش (Stress-Induced Martensitic) شدیداً وابسته به دماست و نرخ کرنش با تأثیر مستقیم بر دمای ماده، نقش مهمی در تعیین رفتار سوپرالاستیک بازی می کند. در تحقیق حاضر منحنی های تنش-کرنش سیم حافظه دار NiTi، به منظور بررسی رفتار سوپرالاستیک در نرخ های کرنش مختلف مورد بررسی قرار گرفت. بدین منظور آزمون کشش در محدوده نرخ کرنش 0.006 min^{-1} تا 0.01 min^{-1} و دامنه کرنش 10% ، در دمای اتاق انجام شد. نتایج نشان داد که با افزایش نرخ کرنش، ناحیه تنش ثابت در مرحله بارگذاری به سمت بالا جابجا می شود و ناحیه تنش ثابت در مرحله بارگذاری ابتدا به سمت پایین و سپس به بالا جابجا می گردد. همچنین با افزایش نرخ کرنش، کرنش دائمی افزایش و کرنش سوپرالاستیک ابتدا افزایش و سپس کاهش یافت.

واژه های کلیدی: رفتار سوپرالاستیک، استحاله مارتزیتی متأثر از تنش، نرخ کرنش، ناحیه تنش ثابت، کرنش دائمی، کرنش

سوپرالاستیک

-
- ۱- کارشناس ارشد مهندسی مواد و متالورژی، دانشکده مهندسی، دانشگاه فردوسی مشهد
 - ۲- دانشیار گروه مواد و متالورژی دانشگاه فردوسی مشهد
 - ۳- دانشیار گروه مواد و متالورژی دانشگاه فردوسی مشهد

مقدمه

استحاله‌های مارتزیتی در آلیاژ حافظه‌دار NiTi موجب ایجاد ویژگی‌های منحصر به فرد حافظه‌داری و سوپرالاستیک می‌شود که آنها را از دیگر مواد متمایز می‌کند. رفتار سوپرالاستیک در حالتی رخ می‌دهد که نمونه در فاز آستینیتی قرار دارد. در این حالت اعمال نیروی به اندازه کافی بزرگ موجب می‌شود که نمونه پس از رسیدن به یک تنفس بحرانی دچار استحاله مارتزیتی از آستینیت به مارتزیت شود که به صورت یک ناحیه تنفس ثابت در منحنی تنفس-کرنش ظاهر می‌گردد. اگر باربرداری صورت گیرد استحاله مارتزیتی بازگشتی رخ می‌دهد و در یک تنفس ثابت مارتزیت به آستینیت تبدیل می‌شود. در نتیجه این رفتار یک حلقه هیستریزیس در طول یک سیکل بارگذاری و باربرداری در منحنی‌های تنفس-کرنش ایجاد می‌شود. این رفتار موجب می‌شود که نمونه پس از صرف انرژی تغییر شکل بالا در طول بارگذاری، مقدار زیادی از این انرژی را در طول باربرداری بازیابی کند. این انرژی قابل بازیابی که به عنوان ظرفیت جذب ماده در نظر گرفته می‌شود، مربوط به اصطکاک درونی ماده است که در طول حرکت فصل مشترک بین واریانت‌های مارتزیتی و مرزهای فازی زمینه آستینیتی رخ می‌دهد [۱].

آزمایش کشش در نرخ‌های کرنش مختلف با تغییر تنفس‌های بحرانی استحاله‌های مارتزیتی رفت و برگشت و روند استحاله‌ها موجب تغییر رفتار سوپرالاستیک می‌شود و بر مقدار انرژی‌های تغییرشکل و قابل بازیابی اثر می‌گذارد.

در این تحقیق اثر نرخ کرنش بر رفتار استحاله مارتزیتی متأثر از تنفس به کمک آزمون کشش بررسی شد و پارامترهای به دست آمده از این منحنی مورد مقایسه قرار گرفت.

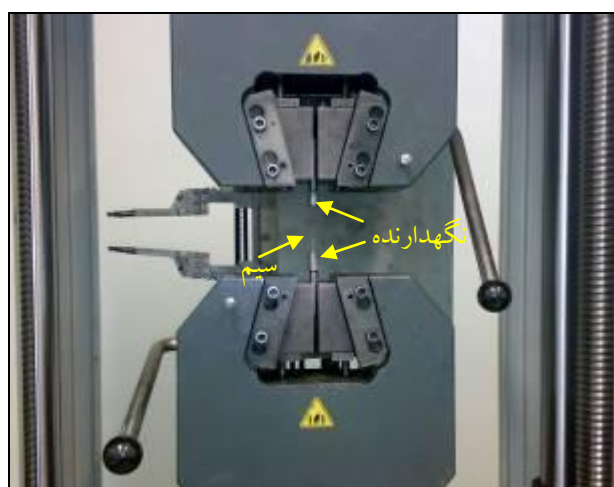
مواد و روش تحقیق

در این تحقیق، از سیم‌های حافظه‌دار NiTi با ترکیب شیمیایی غنی از نیکل استفاده شد. نمونه‌های مورد آزمایش دارای مقطع دایره و قطر 0.46 mm بودند. به منظور انجام آزمایش کشش از دستگاه کشش Zwick با لودسل 250 KN استفاده شد. برای انجام این آزمایش نگهدارنده‌ای با طراحی ساده ساخته شد. شکل ۱ این نگهدارنده به همراه سیم داخل آن و نحوه قرارگیری آن در دستگاه کشش را نشان می‌دهد. طول نمونه‌ها جهت آزمایش کشش 80 mm انتخاب شد. آزمایش کشش سیکلی در نرخ‌های کرنش $0.006/\text{min}$ ، $0.02/\text{min}$ و $0.06/\text{min}$ در 10% تا حداقل 100% در دمای اتاق انجام شد. جهت بررسی مشخصات منحنی‌های تنفس-کرنش در نرخ‌های کرنش مختلف پارامترهای مربوطه از این منحنی‌ها استخراج شدند که در زیر آورده شده‌اند.

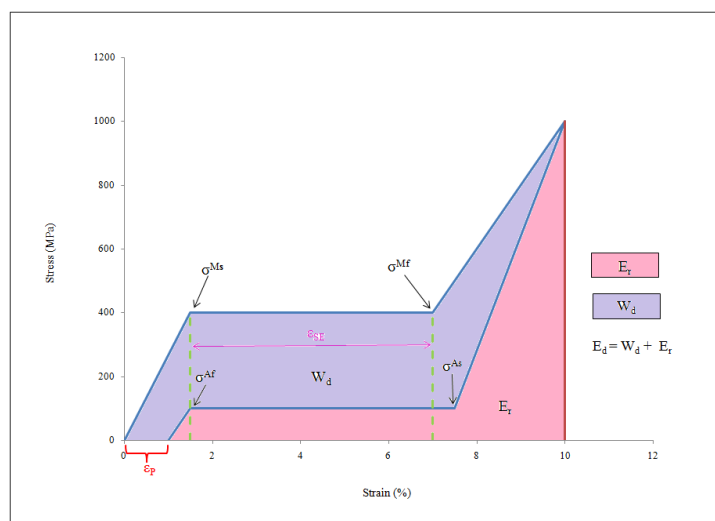
σ^{As} ، تنش اولیه استحاله پیشرونده به مارتزیت. σ^{Mf} ، تنش پایانی استحاله پیشرونده به مارتزیت. σ^{Ms} ، تنش اولیه استحاله پیشرونده به مارتزیت.

استحاله بازگشتی به آستنیت. σ^{Af} ، تنش پایانی استحاله بازگشتی به آستنیت. E_d ، انرژی تغییر شکل که انرژی مورد نیاز برای تغییر شکل ماده تا کرنش ماکزیمم است. این انرژی از مساحت زیر منحنی بارگذاری به دست می‌آید و بر حسب انرژی بر واحد حجم می‌باشد. E_r ، انرژی قابل بازیابی که از مساحت زیر منحنی باربرداری به دست می‌آید و بر حسب انرژی کرنش قابل بازیابی بر واحد حجم می‌باشد. W_d ، انرژی هدر رفته که از مساحت درون حلقه هیستریزیس در طول یک سیکل بارگذاری-باربرداری به دست می‌آید و بر حسب کار هدر رفته بر واحد حجم می‌باشد. ϵ_{SE} ، تغییر شکل سوپرالاستیک در طول استحاله SIM که از اندازه گیری کرنش در امتداد ناحیه تنش ثابت در مرحله بارگذاری به دست می‌آید. ϵ_P ، کرنش دائمی غیر قابل بازیابی.

شکل ۲ این پارامترها را بر روی یک منحنی تنش-کرنش شماتیک نشان می‌دهد.



شکل ۱. تصویر دستگاه کشش به همراه نگهدارنده و سیم.



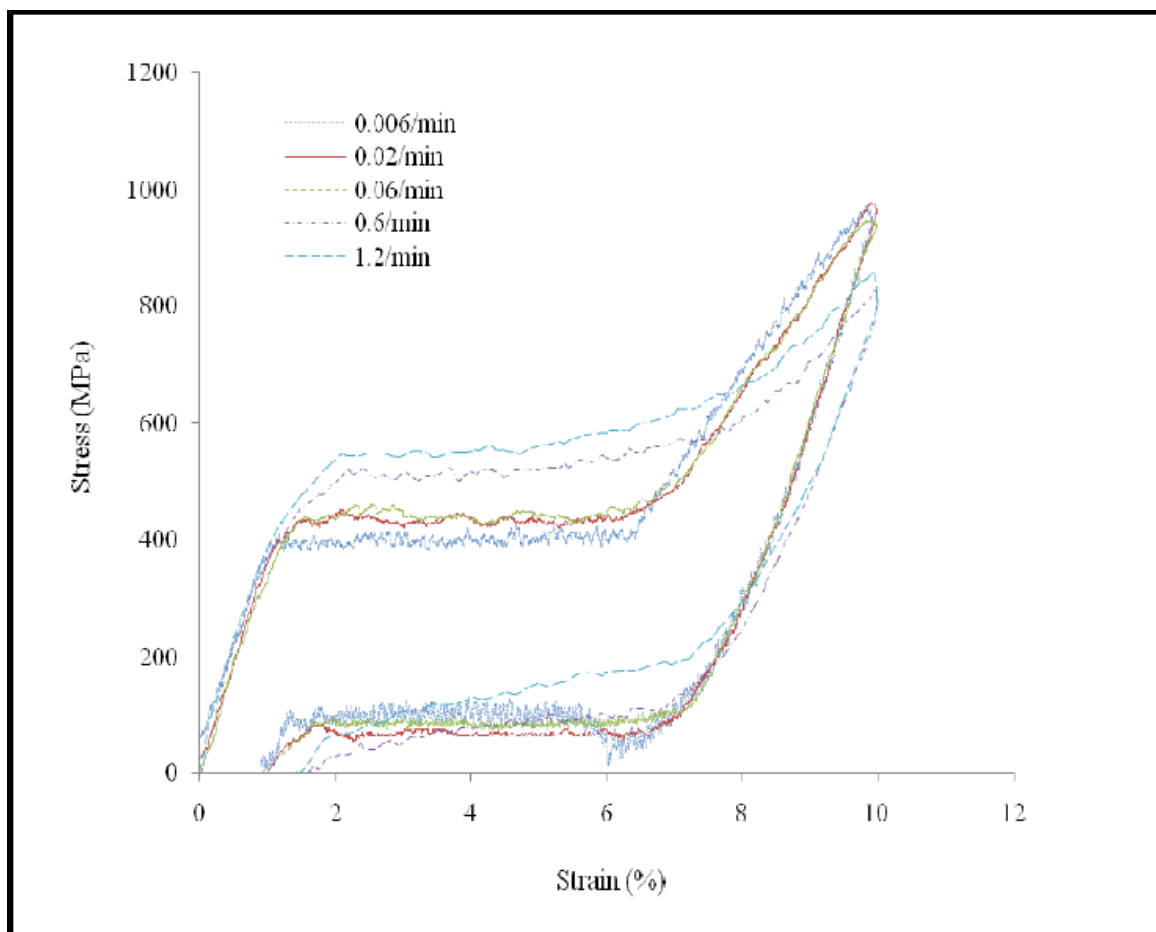
شکل ۲. منحنی تنش-کرنش آلیاز حافظه‌دار NiTi.

نتایج و بحث

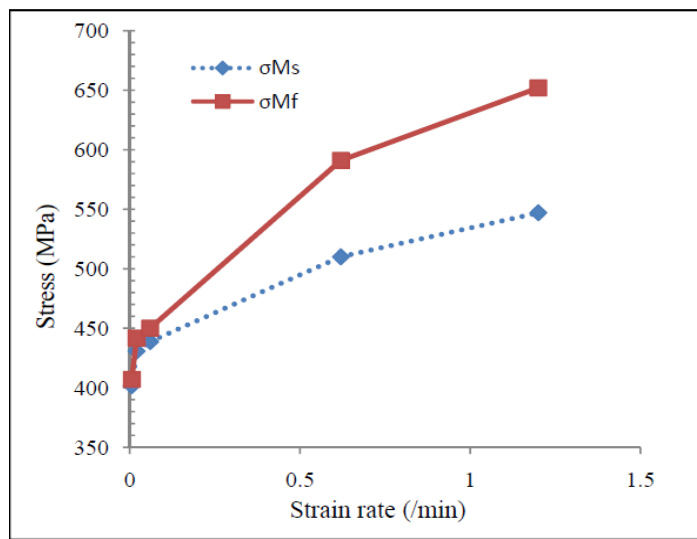
۱- تأثیر نرخ کرنش بر تنش‌های استحاله‌های مارتزیتی

شکل ۳ منحنی تنش-کرنش نمونه‌ها را در نرخ‌های کرنش مختلف نشان می‌دهد. شکل ۴ تغییرات σ^{Ms} با افزایش نرخ کرنش را نشان می‌دهد. در نرخ کرنش $0.006/\text{min}$ که در محدوده نرخ‌های کرنش شبه استاتیک^۱ قرار دارد، ناحیه‌های تنش ثابت در مراحل بارگذاری و باربرداری به صورت کاملاً یکنواخت ظاهر می‌شوند. در نرخ‌های کرنش بالاتر با افزایش نرخ کرنش، σ^{Ms} و σ^{Mf} افزایش می‌یابند. σ^{Ms} در نرخ کرنش $0.006/\text{min}$ حدود 400 MPa و در نرخ کرنش $1/2/\text{min}$ حدود 550 MPa می‌باشد. همچنین تغییرات σ^{Mf} از 420 MPa تا 650 MPa است. در نتیجه با افزایش نرخ کرنش، ناحیه تنش ثابت در مرحله بارگذاری به سمت بالا جابجا می‌شود. استحاله مارتزیتی رفت یک استحاله گرمایزا و استحاله مارتزیتی بازگشت یک استحاله گرمایگیر است. در دماهای بالاتر، استحاله SIM پیشرونده در تنش‌های بالاتر رخ می‌دهد و در دماهای پایین‌تر استحاله SIM بازگشتی در تنش‌های پایین‌تر انجام می‌شود. هنگامی که نرخ کرنش در محدوده $0.006/\text{min}$ است، زمان کافی برای تبادل گرمای استحاله با محیط و نگهدارنده آزمون کشش وجود دارد. بنابراین دمای نمونه تغییر نمی‌کند و می‌توان فرض کرد که تغییرشکل به صورت یک فرایند همدما انجام می‌شود و تنش‌های استحاله در طول استحاله ثابت باقی می‌مانند^[۱]. با افزایش نرخ کرنش به مقادیر بالاتر زمان قابل دستیابی برای تبادل حرارت با محیط کاهش می‌یابد. در نتیجه در طول استحاله SIM رفت، دما افزایش می‌یابد و نمونه اصطلاحاً دچار خودگرمایش^۲ می‌شود. بنابراین استحاله SIM رفت در تنش‌های بالاتری انجام می‌شود^[۳]. همچنین پس از شروع استحاله به دلیل افزایش تدریجی دما با افزایش مقدار کرنش، تغییرات تنشی در انتهای استحاله نسبت به شروع آن بیشتر است و ناحیه تنش ثابت به صورت شیبدار پدیدار می‌شود^{[۲] و [۴]}. در نرخ کرنش $0.006/\text{min}$ ، در طول بارگذاری، تغییر شکل الاستیکی نمودار شامل سه قسمت می‌شود، اما در نرخ‌های کرنش بالاتر، تغییر شکل الاستیکی نمودار شامل چهار قسمت می‌شود. به ویژه در منحنی‌های تنش-کرنش مربوط به نرخ‌های کرنش SIM $0.062/\text{min}$ و $1/2/\text{min}$ ، این موضوع به طور واضح مشاهده می‌شود. یک ناحیه میانی بین بخش‌های تشکیل SIM و تغییرشکل الاستیکی مارتزیت وجود دارد که مقدار شیب آن بین مقادیر شیب این دو بخش قرار دارد. این ناحیه در نتایج مقالات پیشین گزارش شده است^[۲]. شیب این ناحیه نشان می‌دهد که در این ناحیه تشکیل SIM و تغییر شکل الاستیکی آن به طور هم‌زمان رخ می‌دهد و این دو مرحله در این ناحیه با هم، همپوشانی دارند و با افزایش نرخ کرنش طول این ناحیه افزایش می‌یابد.

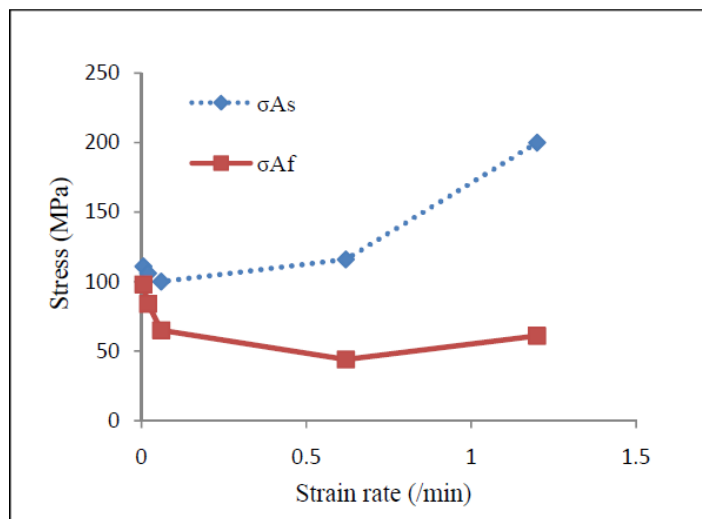
شکل ۵ تغییرات σ^{As} و σ^{Af} با افزایش نرخ کرنش را نشان می‌دهد. در این شکل مشاهده می‌شود که σ^{As} و σ^{Af} با افزایش نرخ کرنش ابتدا تغییرات کاهشی اند کی نشان می‌دهند و سپس σ^{As} افزایش شدیدی می‌یابد و σ^{Af} روند کاهشی را ادامه داده و با افزایش نرخ کرنش تا $1/2/min$ افزایش می‌یابد. با توجه به تغییرات σ^{As} و σ^{Af} در این شکل و شکل ۳ مشاهده می‌شود که با افزایش نرخ کرنش شبیه ناحیه تنش ثابت افزایش می‌یابد. از آنجا که در استحالة SIM بازگشتی با افزایش نرخ کرنش تا $0/06/min$ ، دمای نمونه کاهش می‌یابد، ناحیه تنش ثابت در مرحله باربرداری در تنش‌های پایین‌تری رخ می‌دهد. افزایش ناگهانی σ^{As} در نرخ‌های کرنش بسیار بالا به این دلیل است که در پایان مرحله بارگذاری افزایش دمای نمونه‌ها نسبت به نرخ‌های کرنش پایین‌تر بسیار بیشتر است. بنابراین در آغاز باربرداری نمونه‌ها در دمای بالایی قرار دارند و همان‌طور که گفته شد به دلیل گرم‌گیری بودن استحالة SIM بازگشتی تنش شروع استحالة بالاتر خواهد بود [۲]. از آنجا که استحالة SIM بازگشتی گرم‌گیر است در طول استحالة بازگشتی دمای نمونه کاهش خواهد یافت و σ^{Af} در تنش‌های پایین‌تری رخ می‌دهد.



شکل ۳. منحنی تنش-کرنش در نرخ‌های کرنش مختلف.



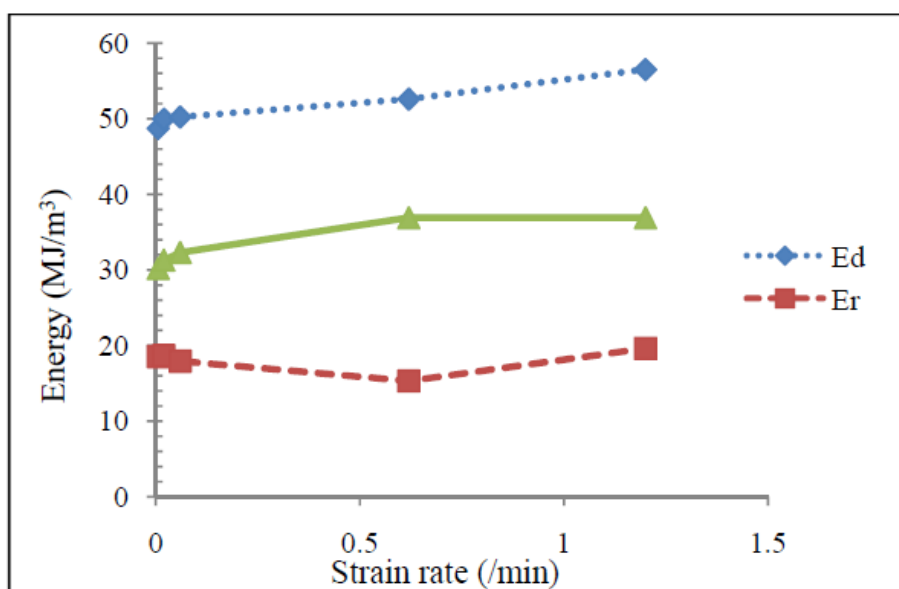
شکل ۴. تغییرات تنش‌های استحالة SIM پیشونده با افزایش نرخ کرنش.



شکل ۵. تغییرات تنش‌های استحالة SIM بازگشتی با افزایش نرخ کرنش.

۲- تأثیر نرخ کرنش بر انرژی‌های E_d , E_r و W_d

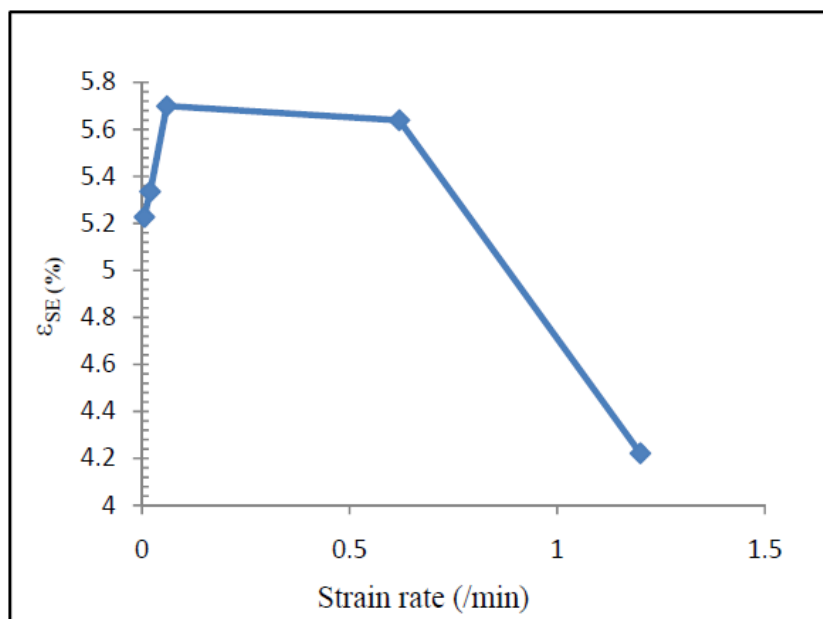
در شکل ۶ تغییرات E_d , E_r و W_d با افزایش نرخ کرنش رسم شده است. این تغییرات مطابق با تغییرات تنش‌های استحالة در شکل‌های ۳ و ۴ و ۵ می‌باشد. در این شکل مشاهده می‌شود که با افزایش نرخ کرنش تا نرخ کرنش $0.6/\text{min}$ ، E_d افزایش، E_r کاهش و W_d افزایش می‌یابد. به دلیل افزایش σ^{Ms} و σ^{Mf} با افزایش نرخ کرنش، E_d افزایش می‌یابد و به دلیل کاهش E_r با افزایش نرخ کرنش می‌یابد و W_d تحت تأثیر این دو پارامتر افزایش می‌یابد. هنگامی که نرخ کرنش از مقدار $0.6/\text{min}$ بالاتر می‌رود، E_d همچنان افزایش می‌یابد، E_r نیز افزایش و W_d کاهش می‌یابد و در این نرخ کرنش کمترین E_r و بیشترین W_d به دست می‌آید. از آنجا که σ^{Ms} و σ^{Mf} با افزایش نرخ کرنش همچنان افزایش می‌یابند، E_d نیز افزایش می‌یابد. همچنین تغییرات E_r و W_d ناشی از تغییرات σ^{As} و σ^{Af} می‌باشد.



شکل ۶. تغییرات انرژی تغییر شکل (E_d)، انرژی قابل بازیابی (E_r) و کار تلف شده (W_d) با افزایش نرخ کرنش.

۳- تأثیر نرخ کرنش بر کرنش سوپرالاستیک

شکل ۷ تغییرات ϵ_{SE} با افزایش نرخ کرنش را نشان می دهد. با افزایش نرخ کرنش تا نرخ کرنش $0.06/min$ ، ϵ_{SE} افزایش و پس از آن کاهش می یابد. ϵ_{SE} عمدهاً مربوط به تغییر شکل شبکه در طول استحاله فازی می شود [۵]. تغییر شکل در تنش ثابت می تواند تحت تأثیر عوامل دیگری در نتیجه واکنش سرتاسری ماده نیز باشد. این عوامل شامل تغییر شکل آستنیت باقیمانده، افزایش دانسیته نابجایی در بارهای بالا یا تغییر دما با افزایش نرخ کرنش می باشد. بنابراین افزایش اولیه نشان داده شده در شکل ۷ به این دلیل است که با افزایش نرخ کرنش استحاله SIM نهایی در سطوح کرنش بالاتری رخ می دهد. در رابطه با کاهش ϵ_{SE} که با افزایش بیشتر نرخ کرنش رخ می دهد می توان گفت در این حالت توده های آستنیت باقیمانده نیاز به تنش بیشتری برای استحاله به مارتنتزیت دارند. بنابراین در کرنش پایین تر سطح تنش بالاتر رفته و ϵ_{SE} کاهش می یابد [۳].



شکل ۷- تغییرات ϵ_{SE} با افزایش نرخ کرنش.

۴- تأثیر نرخ کرنش بر کرنش دائمی

ϵ_p وابسته به دامنه کرنش و دمای تغییرشکل است[۶]. با توجه به منحنی‌های تنش-کرنش در شکل ۳ مشاهده می‌شود که پس از باربرداری مقدار قابل توجهی ϵ_p در نمونه باقی مانده است. مشاهده می‌شود که در نرخ‌های کرنش بالا مقدار ϵ_p پس از باربرداری در نمونه افزایش می‌یابد. همان‌طور که قبله گفته شد وجود ϵ_p در این منحنی نشان‌دهنده این است که فاز SIM پس از استحالة دچار تغییرشکل پلاستیک شده است. با توجه به اینکه در نرخ‌های کرنش بالا، مقدار ϵ_p افزایش یافته است می‌توان نتیجه گرفت که خود گرمایش نمونه در نرخ‌های کرنش بالا موجب کاهش شبکه نابجایی‌ها و کاهش استحکام زمینه می‌شود و بنابراین مقدار تنش بحرانی مورد نیاز برای لغزش کاهش می‌یابد و فاز SIM سریع‌تر وارد منطقه تغییر شکل پلاستیکی می‌شود.

نتیجه‌گیری

- افزایش نرخ کرنش موجب شد که سطح تنش ناحیه تنش ثابت در مرحله بارگذاری افزایش و سطح تنش ناحیه تنش ثابت در مرحله باربرداری ابتدا کاهش و سپس افزایش یابد.
- با افزایش نرخ کرنش انرژی تغییر شکل مطابق با افزایش سطح تنش ناحیه تنش ثابت در مرحله بارگذاری افزایش یافت.

۳- انرژی قابل بازیابی با افزایش نرخ کرنش ابتدا کاهش و سپس افزایش یافت که مطابق با تغییرات سطح

تنش ناحیه ثابت در مرحله باربرداری بود.

۴- با افزایش نرخ کرنش، کرنش سوپرالاستیک ابتدا افزایش و سپس کاهش یافت.

۵- افزایش نرخ کرنش موجب افزایش کرنش دائمی گردید.

مراجع

1. J.V. Humbeeck, J. Stoiber, L. Delaey, R. Gotthardt, "The High Damping Capacity of shape memory alloys", Z. Metallkd., 86, 1995, 176-183.
2. G.N. Dayananda, M. Subba Rao, "Effect of strain rate on properties of superelastic NiTi thin wires", Materials Science and Engineering A, 486, 2008, 96-103.
3. J. Zurburu, G. Castillo, I. Urrutibeauscoa, J. Aurrekoetxea, "Low-energy tensile-impact behavior of superelastic NiTi shape memory alloy wires", Mechanics of Materials, 41, 2009, 1050-1058.
4. J. Zurburu, S. Kustov, G. Castillo, L. Aretxabaleta, E. Cesari, J. Aurrekoetxea, "Instrumented tensile-impact test method for shape memory alloy wires", Materials Science and Engineering A, 524, 2009, 108-111.
5. K. Otsuka, C.M. Wayman, Shape Memory Materials, Cambridge University Press, 1998.
6. S. Nemat-Nasser, W.G. Guo, "Superelastic and cyclic response of NiTi SMA at various strain rates and temperatures", Mechanics of Materials, 38, 2006, 463-473. J.V. Humbeeck, J. Stoiber, L. Delaey, R. Gotthardt, The High Damping Capacity of shape memory alloys, Z. Metallkd., 1995, Vol. 86, pp 176-183.

Effect of strain rate on superelastic behavior of NiTi shape memory alloy under large strain

S. Nourmohammadzadeh*, S.M. Zebarjad. S.A. Sajjadi, S.M.S. Aghamiri

* Materials and metallurgical Engineering Department, Engineering Faculty, Ferdowsi University of Mashhad,
Box 91775-1111, Mashhad, Iran.
nourmohammadzadeh@gmail.com

Abstract

Stress Induced Martensitic (SIM) transformation is strongly induced by temperature. Strain rate influences on temperature of material and plays an important role in determination of superelastic behavior. In the present paper, the stress-strain curves of NiTi shape memory wire studied to investigate superelastic behavior in various strain rates. The tensile test was done in the range 0.006-1.2/min strain rates for strain amplitude of 10%. The results revealed that forward SIM transformation stresses increase with strain rate. Reverse SIM transformation stresses first decreased and then increased by increase in the strain rate. Also the permanent strain increased and superelastic strain first increased and then decreased as the strain rate increased.

Keywords: Stress induced martensitic transformation, Strain rate, Superelastic behavior , Stress plateau, Permanent strain, superelastic strain